

関西大学工学部 正会員 井上 雅夫  
関西大学工学部 正会員 菊岡 敏

### 1. ま え が き

最近、越波量が海岸堤防の設計基準として考えられるようになり、このため、その合理的推算方法を確立しようと試みがなされている。たとえば、吉川、椎貝らは伏高田は、若干の方法は異なるが越波をセミ・越流と類似の現象と考え、それが水越波量の推算公式を提案している。数年前、著者らは傾斜堤の越波量を、特性曲線法で求めた天端に相当する位置での水位よりが流速の時間的変化から計算し、孤立波で碎波しない場合には実験値とよく一致することを示した。しかし、周期波で特に碎波する場合には、こうした方法によつて越波量を求めるることは現状では困難であり、越波の詳細な機構は明るかでない。この研究は、こうした越波機構を明るかにしようとするものである。ここでは、現象が比較的簡単な鉛直堤で碎波しないで越波する場合について実験を行ない、その結果について若干の考察を行なうものである。

### 2. 実験装置および実験方法

実験水槽は長さ24m、幅0.5m、深さ0.6mの一部片面ガラス張りの鋼製のもので、一端にはmulti-purpose型造波機があり、他端には1/10勾配の斜面上に鉛直堤を設置した。

波高は一樣水深部で測定し、越波量は堤防背後の小容器に入れる水量で直接測定した。さうに、越波時の堤防付近の波の挙動を知るために、大室がほぼ1に近い直徑約3mmの中立粒子と波峰の水表面近くに入れ、その動きを16mmカムX4に5リ反转48コマで撮影した。実験波の周期Tは1.5secに一定とし、沖波波高 $H_0$ は5.2~7.0cmの間で種々変化した。のり先水深 $h$ は18.0cm、静水面からの天端高さ $H_e$ は4cmとした。実験は、<sup>初期</sup>一樣な造波機始動後の3波~4波目を対象として、すべての測定を行なった。

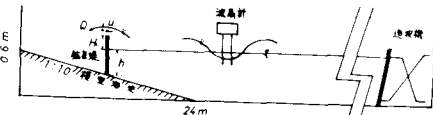


図-1 実験装置と記号の説明

### 3. 実験結果とその考察

まず、この実験では入射波の周期、のり先水深、天端高は一定として波高だけを変化させ、入射波高と越波時の堤防前面の水位、波峰での表面水粒子速度との関係を調べた。図-2は、

越波時の堤防前面の天端から波峰までの水位の時間的変化を

示した一例である。これにFると、越波時の最高水位までの上昇時間に対し下降時間は比較的長く、越波時の水位は時間的に非対称であることがわかる。また、実験範囲内

の波高については、波高が大きくなるほど時間波形の波峰は鋭く、小さくなると平滑になるようである。図-3

は、波動運動に伴って越波した中立粒子の走時曲線の一

例であり、縦軸のXは天端位置を原点とし、沖側を正として

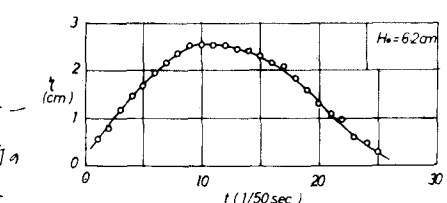


図-2 堤防前面水位の時間的変化

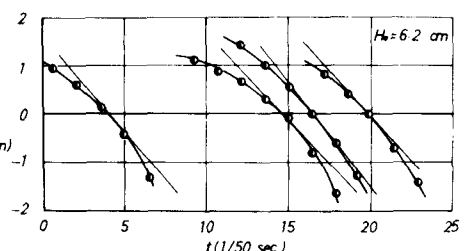


図-3 中立粒子の走時曲線

測定した距離である。この走跡曲線で  $x=0$  (堤防天端) で接線を描くと、その勾配が越波時の天端での向岸方向の水粒子速度である。この向岸方向の水粒子速度は時間的にあまり変化しないようである。たとえば図-3の結果によれば、1波が  $40\text{ cm/sec}$  で越波する間に4個の粒子が天端を通過し、それらの向岸方向の流速は、越波した順にそれが  $27.1\text{ cm/sec}$ ,  $28.1\text{ cm/sec}$ ,  $29.2\text{ cm/sec}$  および  $29.5\text{ cm/sec}$  であり、時間によつてあまり変化しないことがわかる。また、向岸方向の流速の鉛直分布は、粒子を所定の位置に同時にしかも正確に投入できなかつたため、詳細は不明であるが、以下の解析に付で示すだけ表面近くの粒子を対象とした。図-4は、図-3の操作によつて求めた流速と入射波高との関係を示したものであり、波高の増大とともに流速は減少していく。一方、図-5は、図-2と同様な方法によつて求めた越波時の天端での鉛直方向の水粒子速度  $w$  と入射波高との関係を示した。これによると、波高の増大とともに鉛直方向の流速も増大し、この傾向は重複波理論の傾向とも一致している。図-4と図-5などの結果から、越波量には堤防前面の水位と流速とが関係し、さらに流速は、堤防前面の水位に起因するものと、波動運動とのものに起因するものとが考えられ、波高が小さく越波量が少ないときは後者が卓越し、波高が大きくなると越波量が増加するが卓越するようになる。なお、(a)と(b)の実験値のばらつきの主要な原因是、前述の(1)に粒子の位置を正確に固定できないためである。図-6は越波量と入射波高との関係を示したものである。図中、○印でプロットした値  $Q'$  は、図-2に示したような  $\gamma$  と向岸方向の流速  $w$  の積 ( $w\gamma$ ) を1周期につれて積分したものである。この場合、水位の時間的変化は簡単に求められるが、流速につれては困難であるが、これは前述したように時間に依存するのであり変化しないため、ここでは越波時の最高水位に近いときの向岸方向の流速を代表流速として、結局、次式  $Q' = w \int_0^T \gamma dt$  によって求めることとした。なお、●印の  $Q$  は実際に直接測定した越波量である。これによると、 $w\gamma$  の方法で求めた越波量も波高の増大とともに増加していく。この傾向は碎波しないときの越波するときの大さな特性である。図-7は、直接測定した越波量  $Q$  と前式にしたがつて求めた越波量  $Q'$  の比較を示したものである。これによると、実測値  $Q$  の方がわずかに多いようであるが、ほぼ両者は一致しているといえよう。以上、ここで示すのはわざわざの実験条件のうちでの結果を提示することにとどまつたが、今後は広範な実験条件で堤防前面の水位、流速を測定し、波動理論との比較でも行なつていただきたい。最後に、この研究に際して指導いたしました京大岩垣雄一教授、土屋義人教授、実験に助力した当時学部学生伊藤清二郎、福本利基の両君に謝意を表すとともに、この研究は文部省総合研究費による研究の一部であることを明記する。

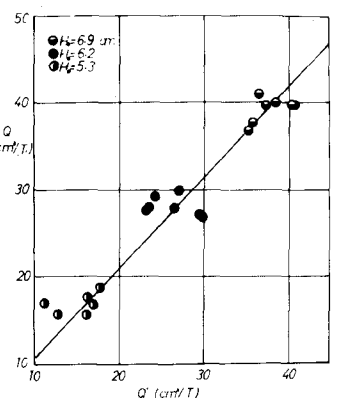
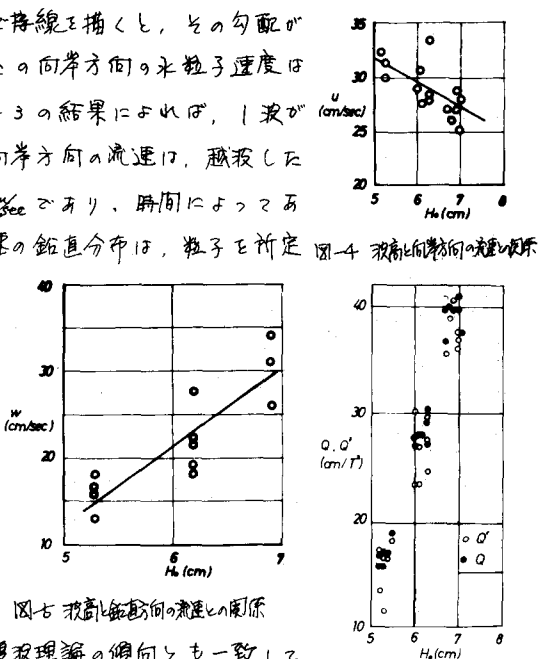


図7 越波量の比較